

Во всех случаях заметна тенденция к образованию локализованных волн из различных начальных возмущений. Эти волны обладают определенной устойчивостью и достаточно долгое время сохраняют индивидуальность после взаимодействия с себе подобными. Процесс сброса начальным возмущением «лишней энергии» аналогичен тому, который демонстрируют некоторые точно интегрируемые системы [1, 2].

В целом результаты численного анализа позволяют считать, что поведение локализованных волн в рассматриваемой системе имеет основные характерные особенности распространения солитонов, по крайней мере, на относительно больших интервалах времени.

#### ЛИТЕРАТУРА

1. Теория солитонов: метод обратной задачи.— М.: Наука, 1980.
2. Солитоны в действии.— М.: Мир, 1981.
3. Горшков К. А., Островский Л. А., Папко В. В. Взаимодействия и связанные состояния солитонов как классических частиц // ЖЭТФ.— 1976.— Т. 71, вып. 2(8).
4. Thielheim K. O. Solitons in distensible tubes // J. Appl. Phys.— 1983.— V. 54, N 6.

Поступила 24/IV 1986 г.

УДК 517.9 : 533.9

### АВТОМОДЕЛЬНЫЕ РЕШЕНИЯ ЗАДАЧИ О ДВИЖЕНИИ СФЕРИЧЕСКОГО ПОРШНЯ В ТЕПЛОПРОВОДНОЙ СРЕДЕ С СОХРАНЕНИЕМ ЭНЕРГИИ ТОЧЕЧНОГО ВЗРЫВА

*P. Г. Даутов, Е. В. Ермолин*

(Казань)

В работе рассматривается задача о движении сферического поршня с заданным на нем теплоотводом по теплопроводной среде с распределенной плотностью, в которой в начальный момент времени произошел точечный взрыв с выделением конечной энергии  $E_0$ . При этом изучается случай, когда теплоотвод компенсирует работу поршня, т. е. полная энергия среды остается постоянной и равной выделенной энергии  $E_0$ .

В результате анализа численно найденных автомодельных решений обнаружены следующие закономерности.

Для решений, имеющих одну и ту же полную энергию, с увеличением скорости поршня и теплоотвода на нем уменьшаются массовая скорость распространения переднего фронта волны, разность между скоростями переднего фронта возмущений и идущей за ней ударной волны, доля тепловой энергии.

С увеличением  $E_0$  происходит, во-первых, усиление вышеперечисленных закономерностей, во-вторых, для двух предельных задач — чистый взрыв [1, 2], максимальный теплоотвод — обнаруживаются интересные в сопоставлении закономерности: процент кинетической энергии взрыва в задаче без поршня (чистый взрыв) падает, процент кинетической энергии взрыва в задаче с максимальным теплоотводом (температура на поршне равна нулю) возрастает.

Запишем систему уравнений газовой динамики в лагранжевой массовой системе координат [3]:

$$(1) \quad \begin{aligned} \frac{\partial r}{\partial t} &= v, \quad \frac{\partial r}{\partial m} = \frac{1}{\rho r^2}, \quad \frac{\partial v}{\partial t} = -r^2 \frac{\partial p}{\partial m}, \quad \frac{\partial}{\partial t} \left( \frac{1}{\rho} \right) = \frac{\partial (r^2 v)}{\partial m}, \\ \frac{\partial e}{\partial t} &= -p \frac{\partial (r^2 v)}{\partial m} - \frac{\partial (r^2 w)}{\partial m}, \quad W = -r^2 \rho \kappa \frac{\partial T}{\partial m}, \\ \varepsilon &= \frac{RT}{\gamma - 1}, \quad p = R \rho T, \quad \kappa = a T^{5/2}, \quad \gamma = \frac{5}{3}. \end{aligned}$$

Здесь  $r$  — радиус;  $m$  — лагранжева массовая переменная;  $t$  — время;  $v$  — скорость;  $\rho$  — плотность;  $p$  — давление;  $e$  — внутренняя энергия;  $T$  — температура;  $W$  — тепловой поток;  $\kappa$  — коэффициент теплопроводности, характерный для высокотемпературной водородной плазмы.

Из размерностного анализа [4] следует, что задача о мгновенном точечном взрыве с последующим движением сферического поршня имеет автомодельное решение при выполнении:

граничных условий на поршне ( $m = 0$ )

$$(2) \quad v(0, t) = v_0 t^{-1/4}, \quad W(0, t) = -v(0, t)p(0, t);$$

граничных условий на переднем фронте волны возмущений  $m_N(t)$

$$(3) \quad \rho(m_N, t) = \rho_0 m_N^{-7/2}, \quad v(m_N, t) = T(m_N, t) = W(m_N, t) = 0;$$

условия сохранения полной энергии среды

$$(4) \quad 4\pi \int_0^{m_N} \left( \frac{T}{\gamma - 1} + \frac{v^2}{2} \right) dm = E_0.$$

Краевая задача (1)–(4) имеет автомодельное решение, для которого справедливы следующие формулы перехода к одной независимой безразмерной переменной  $s$ :

$$(5) \quad \begin{aligned} m &= t^{1/2} R^{7/16} \rho_0^{1/4} a^{-1/8} s, \quad r(m, t) = t^{3/4} R^{21/32} \rho_0^{1/24} a^{-3/16} \lambda(s), \\ v(m, t) &= t^{-1/4} R^{21/32} \rho_0^{1/24} a^{-3/16} \alpha(s), \quad \rho(m, t) = t^{-7/4} R^{-49/32} \rho_0^{1/8} a^{7/16} \delta(s), \\ T(m, t) &= t^{-1/2} R^{5/16} \rho_0^{1/12} a^{-3/8} f(s), \quad W(m, t) = t^{-5/2} R^{7/16} \rho_0^{1/4} a^{-1/8} \varphi(s). \end{aligned}$$

Используя эти формулы перехода, поставим краевую задачу для безразмерных функций, зависящих от  $s$ :

система уравнений

$$(6) \quad \begin{aligned} \frac{d\lambda}{ds} &= \frac{1}{\delta \lambda^2}, \quad \frac{s}{2} \frac{d\lambda}{ds} - \frac{3}{4} \lambda = -\alpha, \quad \frac{s}{2} \frac{d\alpha}{ds} + \frac{\alpha}{4} = \lambda^2 \frac{d(\delta f)}{ds}, \\ \frac{s}{2} \frac{d\delta}{ds} + \frac{7}{5} \delta &= \delta^2 \frac{d(\lambda^2 \alpha)}{ds}, \quad \frac{0,5}{\gamma - 1} \frac{d(sf)}{ds} = \delta \frac{d(\lambda^2 \alpha)}{ds} + \frac{d(\lambda^2 \varphi)}{ds}, \\ \varphi &= -\lambda^2 \delta f^{5/2} \frac{df}{ds}, \quad \gamma = \frac{5}{3}; \end{aligned}$$

условие на поршне ( $s = 0$ )

$$(7) \quad \alpha(0) = \alpha_0;$$

условия на переднем фронте возмущений  $s_N$

$$(8) \quad \lambda(s_N) = \frac{2}{3} s_N^{3/2}, \quad \delta(s) = s_N^{-7/2}, \quad \alpha(s_N) = f(s_N) = \varphi(s_N) = 0;$$

условие сохранения энергии

$$(9) \quad 4\pi \int_0^{s_N} \left( \frac{f}{\gamma - 1} + \frac{\sigma^2}{2} \right) ds = e_0.$$

Здесь значения безразмерных констант следующие:

$$(10) \quad \alpha_0 = v_0 R^{-21/32} \rho_0^{-1/24} a^{3/16}, \quad e_0 = E_0 R^{-3/4} \rho_0^{-1/3} a^{1/2}.$$

Система (6) имеет первые интегралы

$$(11) \quad \begin{aligned} \alpha(s) &= 0,75\lambda(s) - s^l(2\delta(s)\lambda^2(s)), \\ 0,5s(f/(\gamma - 1) + \alpha^2/2) - \lambda^2(\delta f\alpha + \varphi) &= \text{const}, \end{aligned}$$

где с учетом (8) константа во втором интеграле равна нулю.

Соотношения Гюгонио [3] на изотермической ударной волне:

$$(12) \quad \begin{aligned} \delta_2 &= \delta_1/\psi, \quad \psi = (2\lambda_1^2 \delta_1/s_1)^2 f_1, \quad f_2 = f_1, \\ \alpha_2 &= \alpha_1 + (1 - \psi) \frac{0,5s_1}{\delta_1 \lambda_1^2}, \quad \varphi_2 = \varphi_1 + \frac{s_1}{4\lambda_1^2} \left( \frac{0,5s_1}{\delta_1 \lambda_1^2} \right)^2 (\psi^2 - 1) \end{aligned}$$

(индексами 1 и 2 отмечены значения функции перед и за ударной волной соответственно).

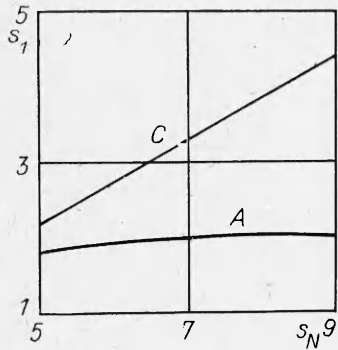


Рис. 1

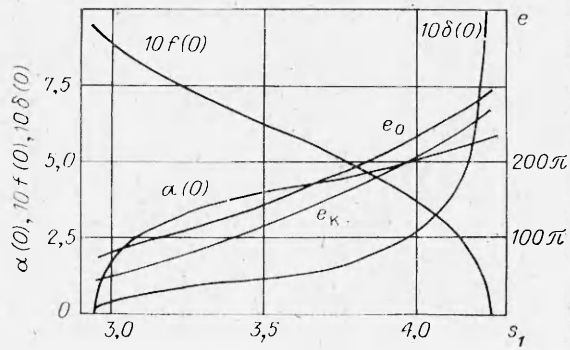


Рис. 2

Аналогично [1, 2, 5] можно показать, что в данной задаче скорость переднего фронта возмущений конечна, т. е. в условиях (8) имеем  $s_N < \infty$ , а между поршнем и передним фронтом возмущений должен быть изотермический сильный разрыв, т. е. существует точка  $s_1 \equiv (0, s_N)$ , где выполняются условия (12).

Значения  $s_N, s_1$  являются своеобразными собственными значениями краевой задачи — каждой допустимой паре величин  $e_0, \alpha_0$  взаимооднозначно соответствует пара величин  $s_N, s_1$ .

В окрестности переднего фронта возмущений  $s_N$  решение имеет вид ( $s \leq s_N$ )

$$(13) \quad \begin{aligned} \lambda(s) &= \lambda_N + \frac{3\lambda_N^2}{2s_N}(s_N - s) + \dots, \quad \alpha(s) = \frac{2\lambda_N^2\delta_N}{s_N}a_1(s_N - s)^{2/5} + \dots, \\ \delta(s) &= \delta_N + \frac{4\lambda_N^3\delta_N^4}{s_N^2}a_1(s_N - s)^{2/5} + \dots, \quad f(s) = a_1(s_N - s)^{2/5} + \dots, \\ \varphi(s) &= \frac{3}{4}\frac{s_N}{\lambda_N^2}a_1(s_N - s)^{2/5} + \dots, \quad a_1 = \left(\frac{15}{8}\frac{s_N}{\delta_N\lambda_N^2}\right)^{2/5}. \end{aligned}$$

Если заранее известны положения особых точек  $s_N, s_1$  в искомом решении, то это решение находится численным интегрированием системы (6) от точки  $s = s_N - \tau$ , в которой значения функций вычисляются по формулам (13), до поршня  $s = 0$  с использованием в точке разрыва  $s_1$  соотношений (12).

В результате численных экспериментов обнаружено, что для каждого значения энергии взрыва  $e_0$  существует критическое значение скорости поршня  $\alpha_0^*(e_0)$  такое, что в задачах с  $0 \leq \alpha_0 \leq \alpha_0^*(e_0)$  при интегрировании в сторону поршня в окрестности  $s = 0$  появляется неустойчивость численного решения, наиболее характерная для поведения скорости  $\alpha(s)$ . Эта неустойчивость имеет ту же природу, что и неустойчивость численного решения в решениях типа ТВ II\* задачи о поршне [5], а также в решениях задачи о чистом взрыве [2]. Кстати, в [2] проведено исследование поведения интегральных кривых и изложены итерационные методы решения задачи о чистом взрыве, позволяющие избежать неустойчивости численного решения.

Для краткости дальнейшего изложения назовем задачу о чистом взрыве ( $\alpha_0 = 0$ ) задачей  $A$ , а с максимальным теплоотводом ( $\alpha_0 \neq 0, f(0) = 0$ ) — задачей  $C$ , промежуточную ( $\alpha_0 \neq 0, f(0) \neq 0$ ) — задачей  $B$ .

В окрестности поршня каждая из названных задач имеет свой вид разложения решения в степенные ряды:

задача  $A$

$$(14) \quad \lambda(s) = \left(\frac{3}{\delta_0}\right)^{1/3}s^{1/3} + \dots, \quad \alpha(s) = \frac{7}{i^2}\left(\frac{3}{\delta_0}\right)^{1/3}s^{1/3} + \dots,$$

\* ТВ II — температурная волна второго рода [5].

$$\delta(s) = \delta_0 + \frac{1}{f_0} \left( \frac{35}{96} - \frac{\delta_0}{2f_0^{3/2}} \right) \left( \frac{\delta_0}{3} \right)^{1/3} s^{2/3} + \dots,$$

$$f(s) = f_0 + \frac{1}{2f_0^{3/2}} \left( \frac{\delta_0}{3} \right)^{1/3} s^{2/3} + \dots,$$

$$\varphi(s) = -\frac{2}{3} f_0 \left( \frac{3}{2} \right)^{1/3} s^{1/3} + \dots;$$

задача *B*

$$(15) \quad \lambda(s) = \lambda_0 + \frac{1}{\delta_0 \lambda_0^2} s + \dots,$$

$$\alpha(s) = \frac{3}{4} \lambda_0 + \frac{1}{4\delta_0 \lambda_0^2} s + \dots, \quad \delta(s) = \delta_0 + \frac{3}{4} \frac{1}{\lambda_0 f_0} \left( \frac{1}{4} - \frac{\delta_0}{f_0^{3/2}} \right) s + \dots,$$

$$f(s) = f_0 + \frac{3}{4\lambda_0 f_0^{3/2}} s + \dots, \quad \varphi(s) = -\frac{3}{4} \lambda_0 \delta_0 f_0 + \dots;$$

задача *C*

$$(16) \quad \lambda(s) = \lambda_0 + \frac{5}{7} \frac{1}{\lambda_0^2 \delta_1} s^{7/5} + \dots,$$

$$\alpha(s) = \frac{3}{4} \lambda_0 + \frac{1}{28} \frac{1}{\lambda_0^2 \delta_1} s^{7/5} + \dots,$$

$$\delta(s) = \delta_1 s^{-2/5} + \dots, \quad f(s) = f_1 s^{2/5} + \dots,$$

$$\varphi(s) = -\frac{2}{5} \lambda_0^2 \delta_1 f_1^{7/2} + \dots$$

Здесь  $\delta_0$ ,  $f_0$  и  $\delta_1$ ,  $f_1$  — неизвестные параметры.

Разложения (14)–(16) используются в ходе итерационного процесса [2] нахождения решения в задачах  $0 \leq \alpha_0 \leq \alpha_0^*(e_0)$ .

На рис. 4 приводятся графики положения точки разрыва  $s_1$  в зависимости от положения  $s_N$  в решениях задач *A* и *C*. Точки разрыва в решениях *B* находятся между кривыми *A* и *C*, так как при закрепленном  $s_N$  максимальное значение  $s_1$  достигается на решении задачи *C*, а минимальное — задачи *A*. Это показано на рис. 2, где даны значения газодинамических и тепловых функций на поршне в зависимости от  $s_1$  в решениях, имеющих одинаковое положение переднего фронта возмущений  $s_N = 7$ . Здесь же приводятся зависимости от положения  $s_N$  значений полной и кинетической энергии в указанных решениях.

Изображенная на рис. 2 зависимость от  $s_1$  качественно сохраняется и для других  $s_N$ . Об этом свидетельствуют графики изменения полной

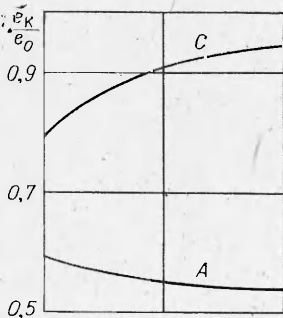
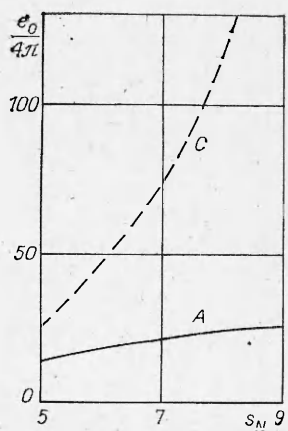


Рис. 3

Рис. 4

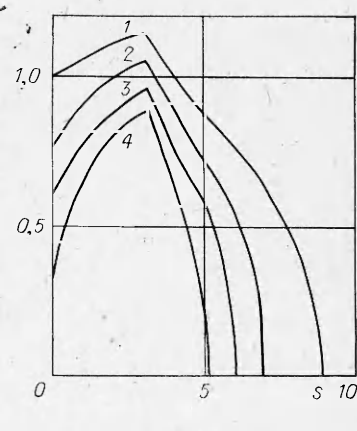


Рис. 5

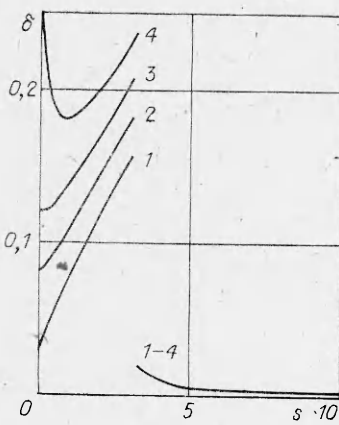


Рис. 6

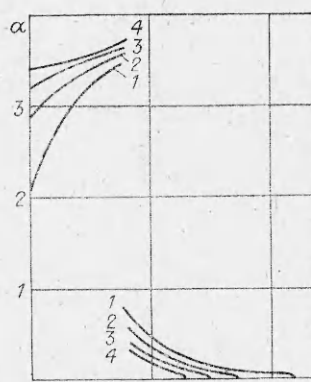


Рис. 7

энергии (рис. 3) в решениях задач *A* (сплошная линия) и *C* (штриховая) в зависимости от  $s_N$ . В решениях задач *A* и *C* интересны закономерности (рис. 4) изменения доли кинетической энергии  $e_K/e_0$ : в решениях задачи *C* она монотонно увеличивается с ростом  $s_N$ , а следовательно, с ростом энергии взрыва  $e_0$ , тогда как в решениях задач *A* уменьшается.

На рис. 5—7 приводятся решения задачи *B* о мгновенном выделении энергии  $e_0 = 4\pi \cdot 25,5$  с одновременным движением теплоотводящего поршня со скоростями  $\alpha_0 = 1,88; 2,90; 3,22; 3,40$  (линии 1—4).

Как видим, с ростом скорости движения поршня и соответственно теплоотвода на нем уменьшается скорость переднего фронта возмущений, увеличивается скорость ударной волны, значит, уменьшается область прогрева перед ударной волной. При этом относительное изменение скорости ударной волны мало, а скорости переднего фронта волны возмущений довольно существенно.

Особого внимания заслуживает факт близости значений давлений (графики не приводятся) непосредственно за ударными волнами.

#### ЛИТЕРАТУРА

1. Коробейников В. П. О распространении сильной сферической взрывной волны в теплопроводном газе // ДАН СССР.—1957.—Т. 113, вып. 1.
2. Неуважаев В. Е. Распространение сферической взрывной волны в теплопроводном газе // ПММ.—1962.—Т. 26, № 6.
3. Самарский А. А., Попов Ю. П. Разностные схемы газовой динамики.—М.: Наука, 1975.
4. Седов Л. И. Методы подобия и размерности в механике.—М.: Наука, 1965.
5. Волосевич П. П., Леванов Е. И. Автомодельные решения уравнений газовой динамики с учетом нелинейной теплопроводности.—Тбилиси: Изд-во Тбилис. ун-та, 1977.

Поступила 3/III 1986 г.

УДК 539.374, 620.178.7

## К МИКРОМЕХАНИКЕ ДИНАМИЧЕСКОГО ДЕФОРМИРОВАНИЯ И РАЗРУШЕНИЯ

*А. К. Диваков, Л. С. Коханчик, Ю. И. Мещеряков,  
М. М. Мышилев*

(Ленинград)

Как показано в [1—4], динамическое деформирование и разрушение материалов протекает в условиях существенного распределения частиц по скоростям. Это распределение определяет не только зависимость механических свойств от скорости деформации, но и откольную прочность материала. Статистический характер протекания процессов динамического деформирования и разрушения на микроуровне позволяет по аналогии с механикой жидкости и газа использовать для характеристики этих про-